

Aula 13

Aquecimento e Esfriamento da Litosfera



Plano da Aula

Introdução

- Condução 1D dependente do tempo.

Aquecimento e esfriamento:

- Aquecimento periódico, aquecimento instantâneo.

Modelos de litosfera:

- Modelo de semi-espaco, modelo de placa.

Introdução

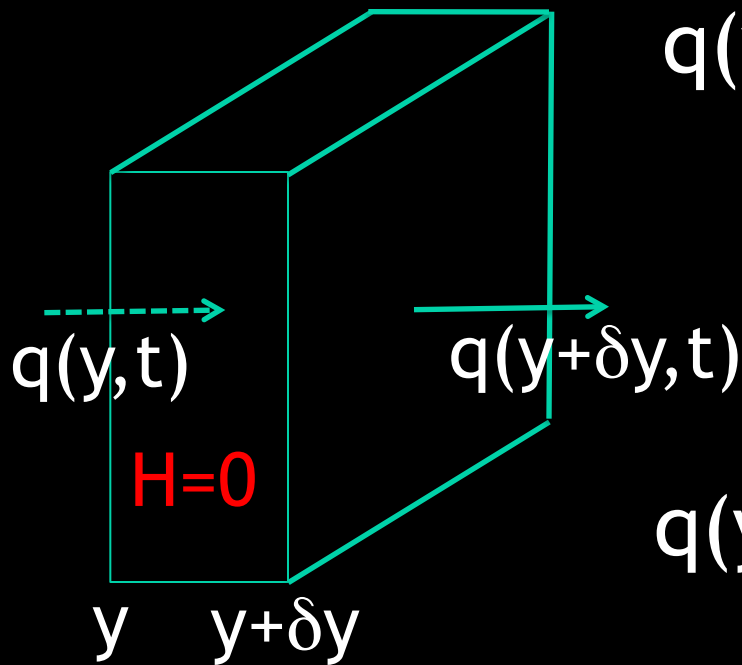
Vamos considerar problemas geológicos em que a condução do calor é dependente do tempo.

Nesses problemas vamos fazer duas hipóteses:

- Os efeitos do calor radiogênico são desprezíveis ($H=0$).
- A propagação do calor acontece em uma direção (1D).

Condução 1D não-estacionária

Como no caso estacionário consideramos a lei de Fourier e a conservação da energia através de um corpo:



$$q(y + \delta y, t) = q(y, t) + \delta y \left(\frac{\partial q}{\partial y} \right)$$

$$q(y, t) = -k \frac{\partial T}{\partial y}$$

$$\begin{aligned} q(y + \delta y, t) - q(y, t) &= \delta y \left(\frac{\partial q}{\partial y} \right) \\ &= \delta y \left[-k \left(\frac{\partial^2 T}{\partial y^2} \right) \right] \end{aligned}$$

Condução 1D não-estacionária

Como $H=0$, um fluxo total de energia tem que esquentar ou esfriar o corpo.

Definimos o **calor específico** “ c ” como a energia necessária para esquentar 1 kg de massa 1 °C.

$$\Delta q A \delta t = -c \delta T \rho \delta V = -c \delta T \rho A \delta y$$

$$\Delta q = -\delta y \rho c (\partial T / \partial t)$$

Igualando

difusividade térmica

$$\partial T / \partial t = (k / \rho c) \partial^2 T / \partial y^2 = \kappa \partial^2 T / \partial y^2$$

Aquecimento periódico

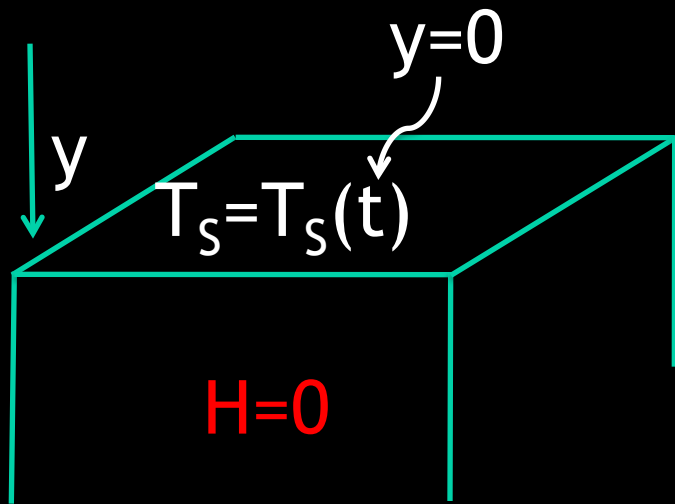
A temperatura da superfície da Terra muda regularmente com o tempo em várias escalas:

- Variações entre dia e noite
- Variações estacionais
- Variações das glaciações

Vamos usar a equação 1D dependente do tempo para determinar o efeito dessas mudanças com a profundidade.

Aquecimento periódico

Assumimos que o meio é um semi-espaco com superfície em $y=0$ e que $T_s=T_s(t)$



$$\partial T / \partial t = \kappa \partial^2 T / \partial y^2$$

$$T_s = T_0 + \Delta T \cos \omega t$$

Usando “separação de variáveis”,

$$T(y,t) = T_0 + Y_1(y) \cos \omega t + Y_2(y) \sin \omega t$$

Aquecimento periódico

e substituindo

$$-\omega Y_1 = \kappa \, d^2 Y_2 / dy^2$$

$$\omega Y_2 = \kappa \, d^2 Y_1 / dy^2$$

A solução do sistema pode ser feita a partir de

$$d^4 Y_2 / dy^4 + \omega^2 / \kappa^2 Y_2 = 0$$

Assumindo $Y_2(y) = Ce^{\alpha y}$ e substituindo,

$$\alpha^4 + \omega^2 / \kappa^2 = 0 \quad \rightarrow \quad \alpha = \pm (1 \pm i) / \sqrt{2} \, (\omega / \kappa)^{1/2}$$

Aquecimento periódico

dando a solução geral

$$Y_2 = c_1 e^{[(1+i)/\sqrt{2}] \sqrt{\omega/\kappa} y} + c_2 e^{[(1-i)/\sqrt{2}] \sqrt{\omega/\kappa} y} \\ + c_3 e^{[-(1+i)/\sqrt{2}] \sqrt{\omega/\kappa} y} + c_4 e^{[-(1-i)/\sqrt{2}] \sqrt{\omega/\kappa} y}$$

Como as flutuações da temperatura decaem com a profundidade, $c_1=c_2=0$

$$Y_2 = e^{-y\sqrt{\omega/2\kappa}} [c_3 e^{-iy\sqrt{\omega/2\kappa}} + c_4 e^{iy\sqrt{\omega/2\kappa}}]$$

ou

$$Y_2 = e^{-y\sqrt{\omega/2\kappa}} [b_1 \cos \sqrt{\omega/2\kappa} y \\ + b_2 \sin \sqrt{\omega/2\kappa} y]$$

Aquecimento periódico

De forma semelhante,

$$Y_1 = e^{-y\sqrt{(\omega/2\kappa)}} [b_3 \cos \sqrt{(\omega/2\kappa)} y + b_4 \sin \sqrt{(\omega/2\kappa)} y]$$

Lembrando que

$$-\omega Y_1 = \kappa d^2 Y_2 / dy^2$$

temos que $b_3=b_2$ e $b_4=-b_1$. Assim,

$$Y_1 = e^{-y\sqrt{(\omega/2\kappa)}} [b_2 \cos \sqrt{(\omega/2\kappa)} y - b_1 \sin \sqrt{(\omega/2\kappa)} y]$$

Aquecimento periódico

Substituindo $y=0$ na solução

$$T(0,t) = T_0 + Y_1(0) \cos \omega t + Y_2(0) \sin \omega t$$

e comparando com $T_s(t)$ na superfície,

$$T(0,t) = T_0 + \Delta T \cos \omega t$$

deduzimos que,

$$Y_2(0)=b_1=0 \text{ e } Y_1(0)=b_2=\Delta T.$$

Assim,

$$T = T_0 + \Delta T e^{-y\sqrt{(\omega/2\kappa)}} \cos[\omega t - y\sqrt{(\omega/2\kappa)}]$$

“Skin depth”

A equação anterior mostra que a perturbação máxima da temperatura diminui com a profundidade

$$\Delta T(y) = \Delta T e^{-y\sqrt{(\omega/2\kappa)}}$$

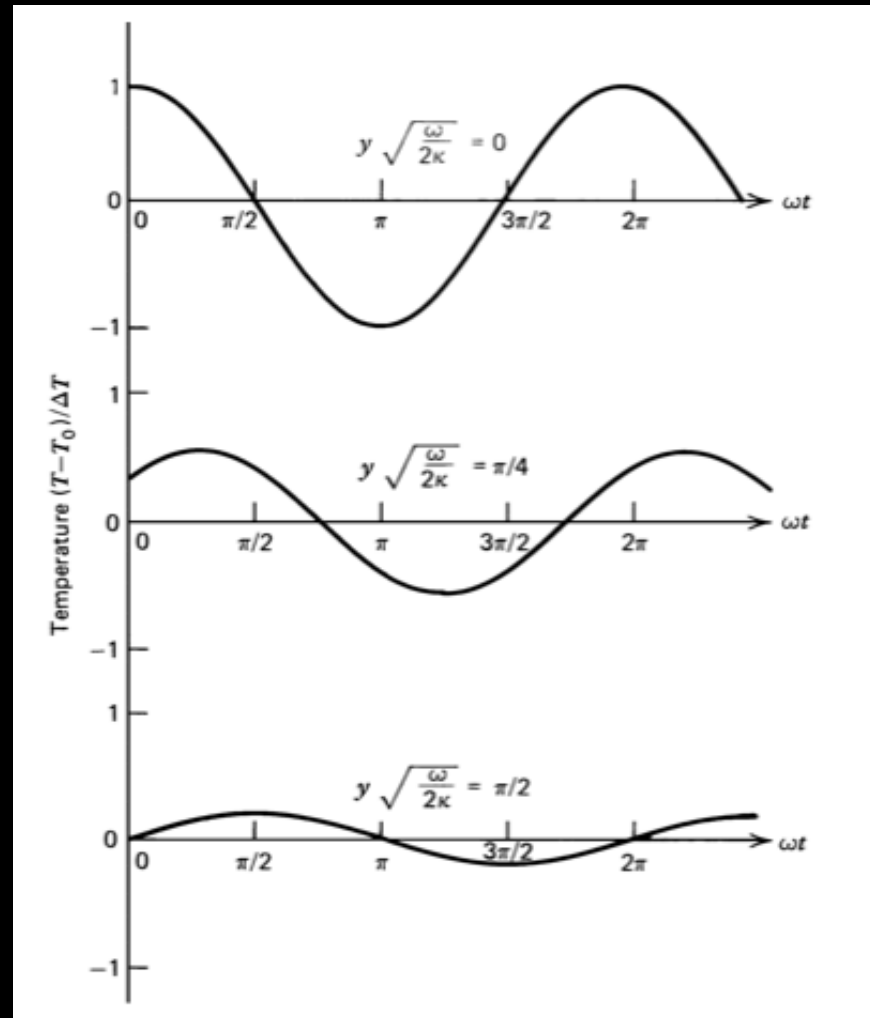
Definimos o “**skin depth**” como a profundidade onde a perturbação é $1/e$ do valor na superfície,

$$d_w = (2\kappa/\omega)^{1/2}$$

“Skin depth”

A equação mostra também que há um desfasamento entre a flutuação na superfície e a flutuação em profundidade y de

$$\phi = y (\omega/2\kappa)^{1/2}$$



Aquecimento instantâneo

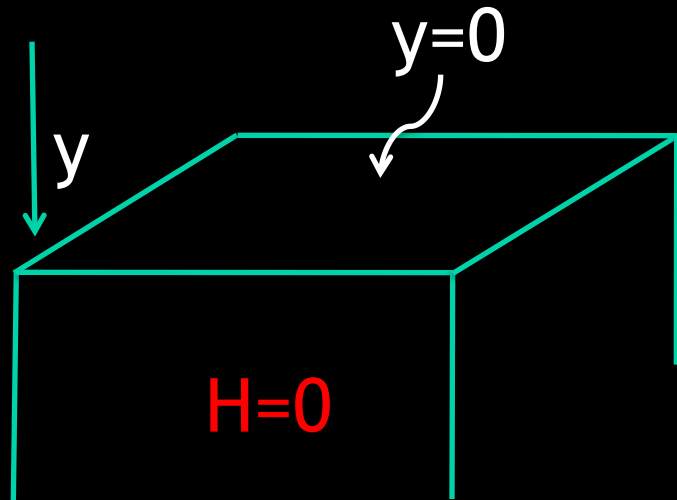
Vamos agora considerar a solução da equação 1D dependente do tempo para mudanças súbitas da temperatura.

A solução permite formular estimativas para questões como:

- A idade da Terra.
- O aquecimento das paredes de uma câmara magmática
- A estrutura térmica da litosfera oceânica.

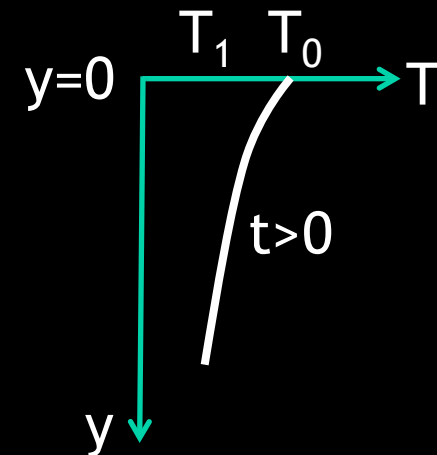
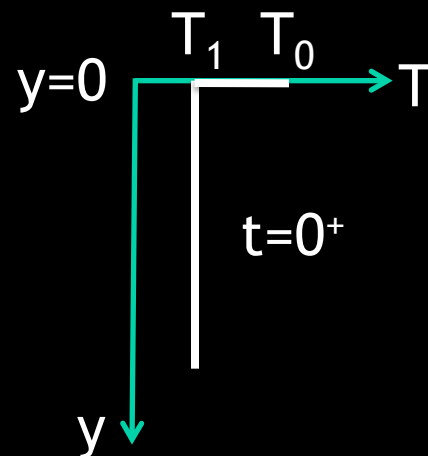
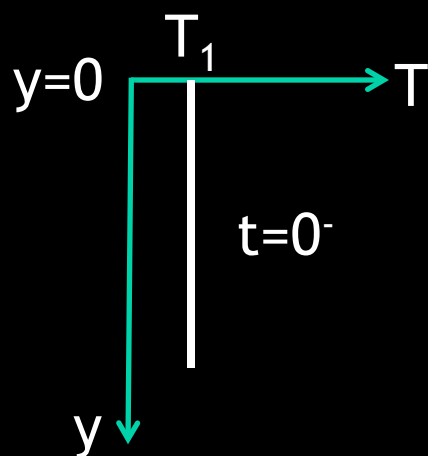
Aquecimento instantâneo

Vamos supor um semi-espço



$$\partial T / \partial t = \kappa \partial^2 T / \partial y^2$$

com as condições de contorno



$T=T_1$ para $t=0^-$, $y>0$ $T=T_0$ para $y=0$, $t=0^+$ $T \rightarrow T_1$ para $y \rightarrow \infty$, $t>0$

Solução por “semelhança”

Primeiro definimos uma temperatura adimensional como

$$\theta = (T - T_1) / (T_0 - T_1)$$

pelo que o problema é reformulado através da equação

$$\partial \theta / \partial t = \kappa \partial^2 \theta / \partial y^2$$

com as condições de contorno

$$\theta(y, 0) = 0; \quad \theta(0, t) = 1; \quad \theta(\infty, t) = 0$$

Solução por “semelhança”

Em seguida, fazemos uma mudança de variáveis. Como a quantidade $(\kappa t)^{1/2}$ tem dimensões de distância, definimos

$$\eta = y / 2(\kappa t)^{1/2}$$

Assim,

$$\partial^2 \theta / \partial y^2 = d^2 \theta / d\eta^2 (1 / 4\kappa t)$$

$$\partial \theta / \partial t = -d\theta / d\eta (\eta / 2t)$$

e a equação resultante fica como,

$$-\eta (d\theta / d\eta) = \frac{1}{2} (d^2 \theta / d\eta^2), \quad \theta(\infty) = 0, \quad \theta(0) = 1$$

Solução por “semelhança”

A primeira integração da equação é

$$d\theta/d\eta = c_1 \exp(-\eta^2)$$

e a segunda integração é

$$\theta = c_1 \int_0^\eta \exp(-\eta'^2) d\eta' + c_2$$

Usando $\theta(0)=1$,

$$1 = c_1 \int_0^0 \exp(-\eta'^2) d\eta' + c_2 \Rightarrow c_2 = 1$$

Solução por “semelhança”

E usando $\theta(\infty)=0$,

$$0 = c_1 \int_0^{\infty} \exp(-\eta'^2) d\eta' + 1 = c_1 \sqrt{\pi}/2 + 1$$

temos que $c_1 = -2/\sqrt{\pi}$. Assim,

$$\theta = 1 - 2/\sqrt{\pi} \int_0^{\eta} \exp(-\eta'^2) d\eta' = 1 - \text{erf}(\eta) = \text{erfc}(\eta)$$

e, finalmente,

$$(T - T_1)/(T_0 - T_1) = \text{erfc}(y/2\sqrt{\kappa t})$$

Camada limite térmica

A região perto da superfície em que há um gradiente significativo de temperatura é chamada de **camada limite (térmica)**.

A espessura da camada limite é definida como a distância onde $\theta = 1/10$,

$$\eta_T = \text{erfc}^{-1}(0.1) = 1.16$$

e

$$y_T = 2\eta_T(\kappa t)^{1/2} = 2.32 (\kappa t)^{1/2}$$

Fluxo térmico

O fluxo de calor pode ser calculado a partir da lei de Fourier, como

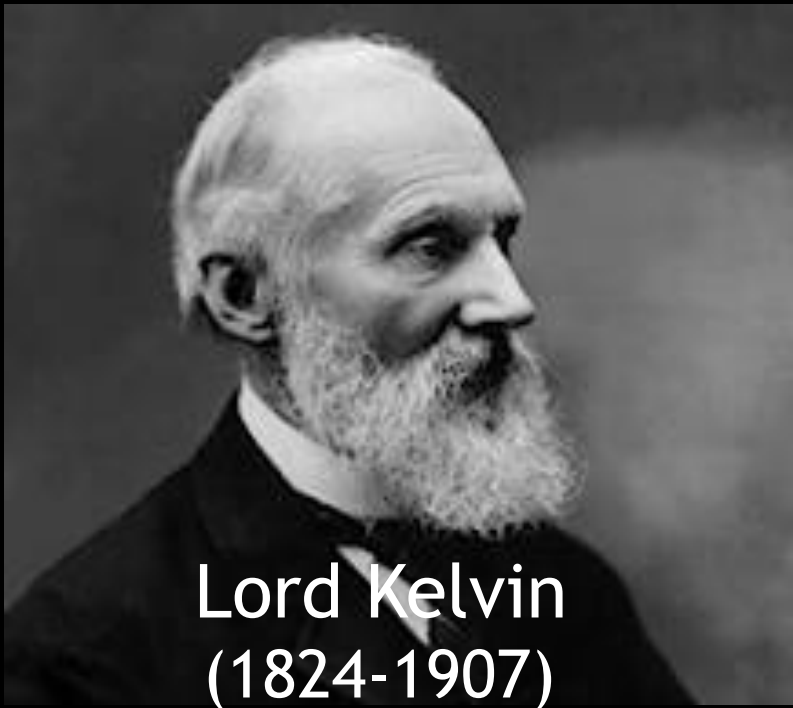
$$q_0 = -k(\partial T / \partial y) |_{y=0} = k(T_0 - T_1) / (\pi \kappa t)^{1/2}$$

O valor de $q(t=0)$ é infinito, mas o calor transmitido para o semi-espaco para um tempo “t” é finito e igual a

$$Q = \int_0^t q \, dt' = 2k(T_0 - T_1) / (\kappa \pi)^{1/2} \sqrt{t}$$

A idade da Terra

A meados do século XIX, Lord Kelvin usou essa teoria para estimar a idade da Terra.



Lord Kelvin
(1824-1907)



Sir Charles Lyell
(1797-1875)

A idade da Terra

Ele assumiu que a Terra formou-se a temperatura T_1 e que sua superfície foi mantida a temperatura T_0 ($T_0 < T_1$).

Usando a equação do fluxo de calor

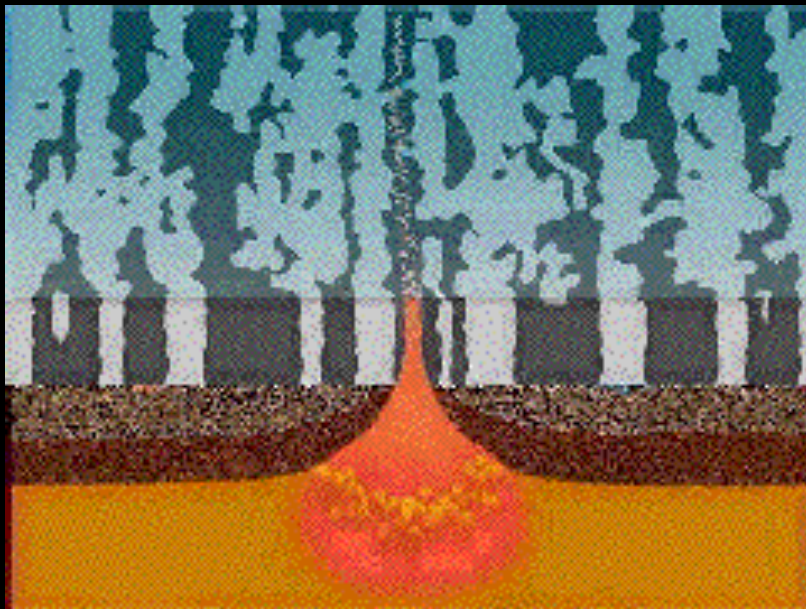
$$t = (T_1 - T_0)^2 / \pi \kappa (\partial T / \partial y)^2 |_{y=0}$$

o gradiente na superfície é função de t .

Para $\partial T / \partial y |_{y=0} = 25 \text{ } ^\circ\text{K/m}$, $T_1 - T_0 = 2000 \text{ } ^\circ\text{K}$,
e $\kappa = 1 \text{ mm}^2/\text{s}$ -> $t_0 = 65 \cdot 10^6 \text{ anos}$.

Modelos de Litosfera

O resfriamento instantâneo é um processo relevante para a criação de litosfera oceânica.

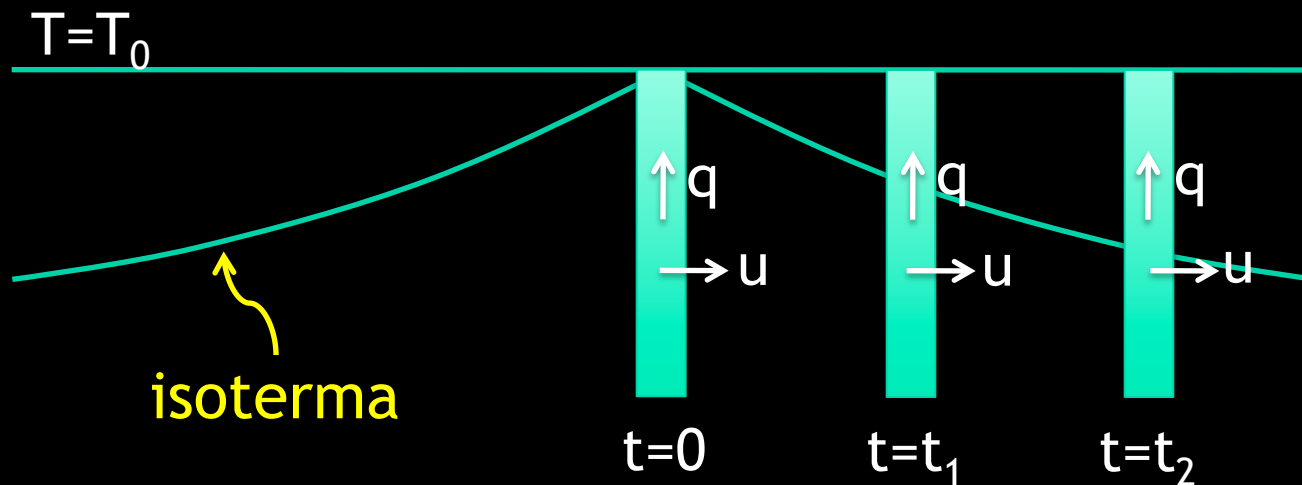


- O magma sobe para a superfície.
- O manto é resfriado pela água do oceano.
- A placa se afasta da borda.

Como a litosfera é rígida, consideramos a **isoterma a 1600 K** como sua base.

Modelo de semi-espço

Para adaptar a solução do resfriamento instantâneo do semi-espço à situação da litosfera oceânica, fazemos $t=x/u$:



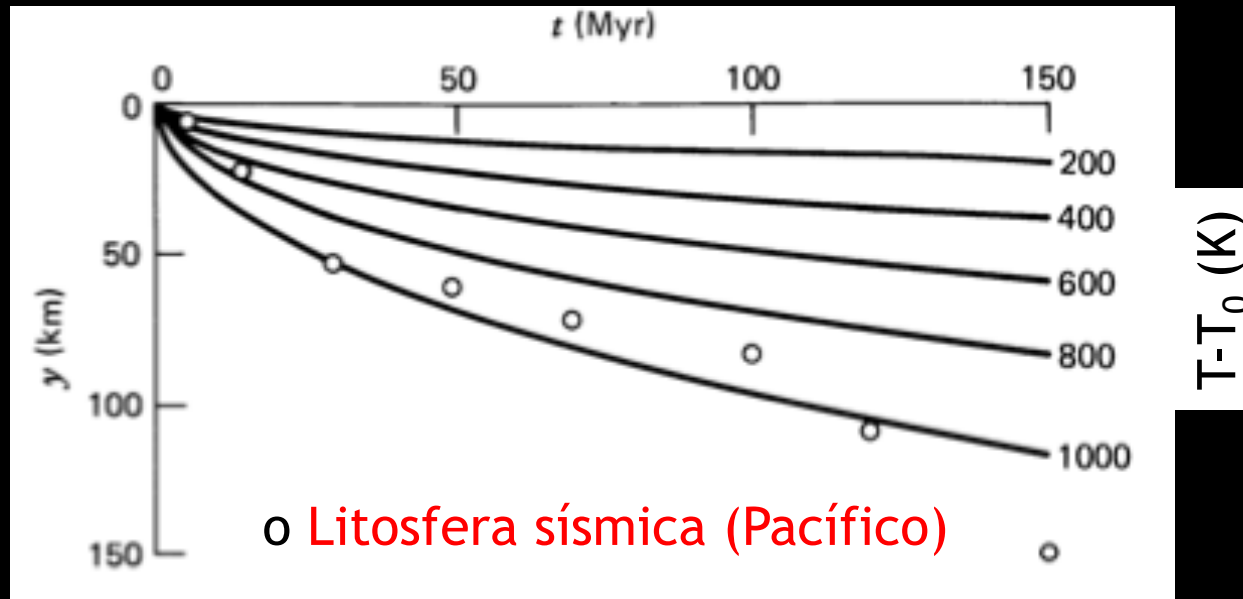
$$\frac{T-T_0}{T_1-T_0} = \text{erf} \left[\frac{y}{2(\kappa x/u)^{1/2}} \right]$$

Espessura da litosfera

A espessura da litosfera pode ser definida como a espessura da camada limite,

$$y_L = 2.32 (\kappa x / u)^{1/2}$$

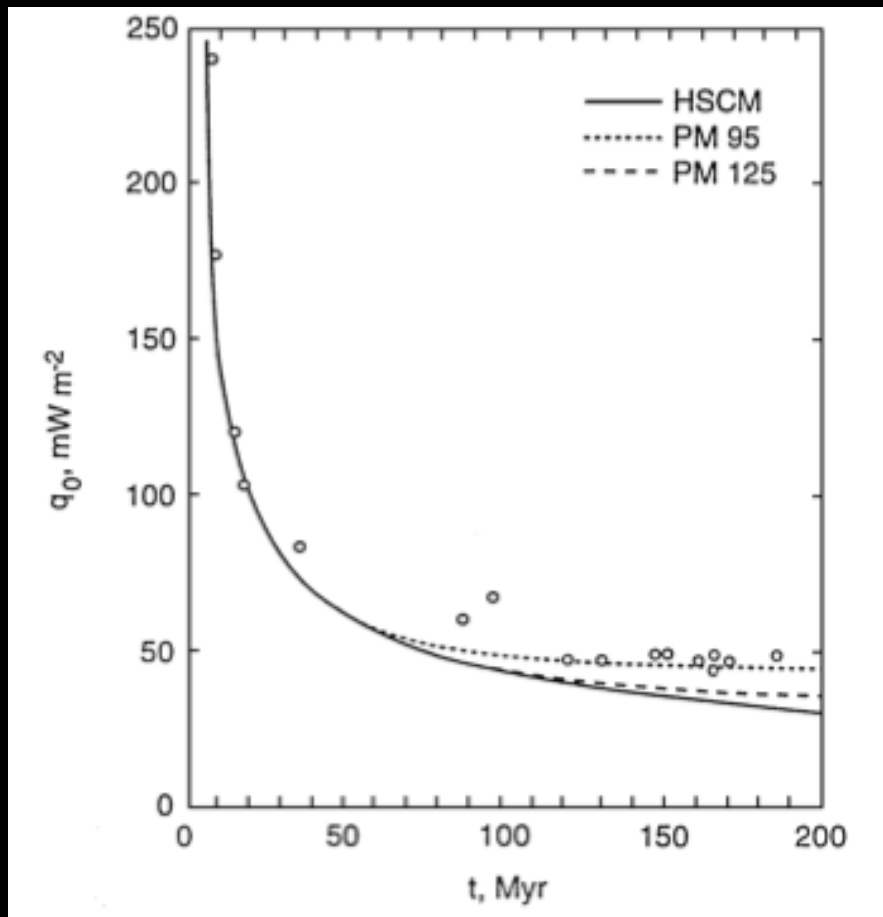
onde y_L é definida para $T - T_0 / T_1 - T_0 = 0.9$



Isotermas para $T_1 - T_0 = 1300$ °K e $\kappa = 1$ mm²/s

Fluxo térmico

O fluxo de calor na superfície oceânica, q_0 , é dado por



$$q_0 = k (T_1 - T_0) \left(\frac{u}{\pi \kappa x} \right)^{1/2}$$

- Para $k=3.3 \text{ W/mK}$
- Medições de q_0 em sedimentos grossos
- Bom acordo para idades jovens.

Fluxo térmico médio

O fluxo oceânico médio é dado por

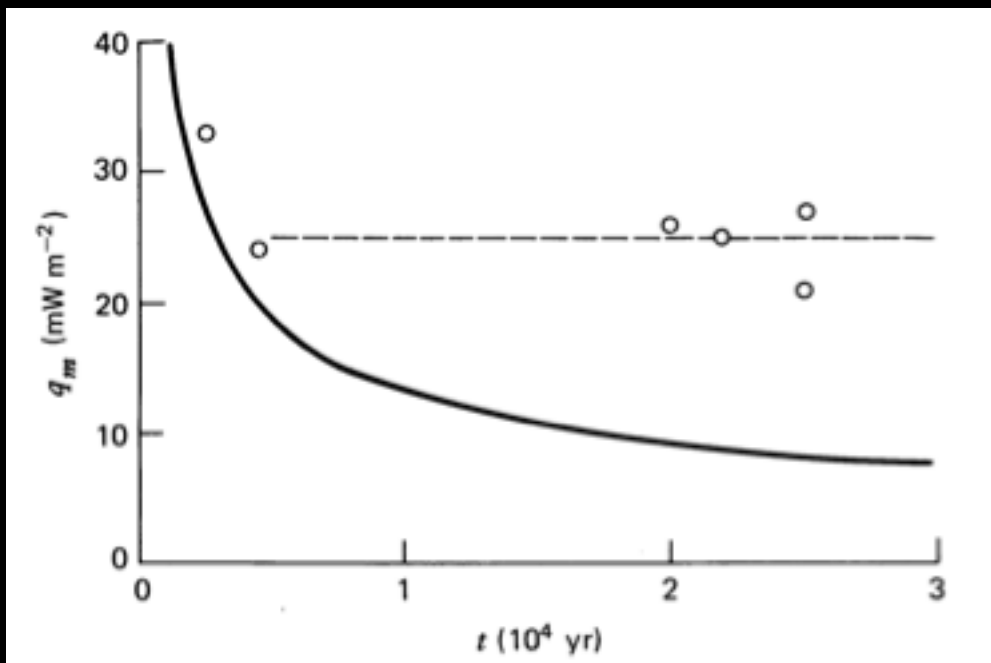
$$\bar{q}_0 = (1/\tau) \int_0^\tau q_0 dt = 2k(T_1 - T_0) / (\pi\kappa\tau)^{1/2}$$

Para $\tau = 120.8 \text{ My}$ $\rightarrow \bar{q}_0 = 78.5 \text{ mW/m}^2$.

O valor é um pouco menor que o valor de 101 mW/m^2 observado, mas pode ser concluído que o fluxo oceânico é devido ao **resfriamento da litosfera**.

Esfriamento continental

O modelo do semi-espço não funciona para resfriamento continental.

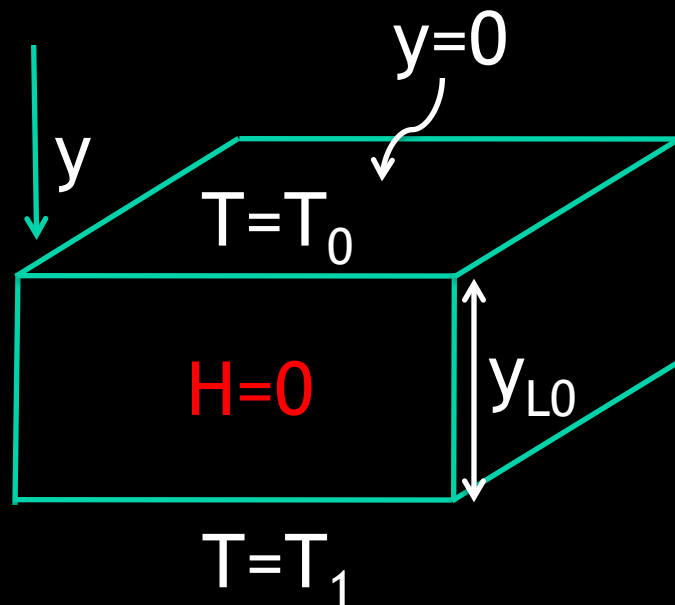


Isoterma para $k=3.3 \text{ W/m}^\circ\text{K}$,
 $T_1-T_0=1300 \text{ }^\circ\text{K}$ e $\kappa=1 \text{ mm}^2/\text{s}$

- O valor q_m representa a contribuição do manto.
- Melhor acordo para $q_m=25 \text{ mW/m}^2$
- Esse foi o valor estimado para a contribuição do manto (28 mW/m^2)

Modelo de placa

A litosfera oceânica não engrossa com a idade, mas atinge um equilíbrio térmico estacionário devido ao **aquecimento na sua base**.



$$\partial T / \partial t = \kappa \partial^2 T / \partial y^2$$

$$T = T_1 \text{ para } t = 0, \quad 0 \leq y \leq y_{L0}$$

$$T = T_0 \text{ para } y = 0, \quad t > 0$$

$$T = T_1 \text{ para } y = y_{L0}, \quad t > 0$$

Modelo de placa

A solução para este problema é obtido através de séries infinitas,

$$T = T_0 + (T_1 - T_0) \left[(y/y_{L0}) + (2/\pi) \sum_{n=1}^{\infty} (1/n) \exp(-\kappa n^2 \pi^2 t / y_{L0}^2) \sin(n\pi y / y_{L0}) \right]$$

Tem que perceber que

$$T = T_0 + (T_1 - T_0) y / y_{L0} \quad \text{para } t \gg y_{L0}^2 / \kappa$$

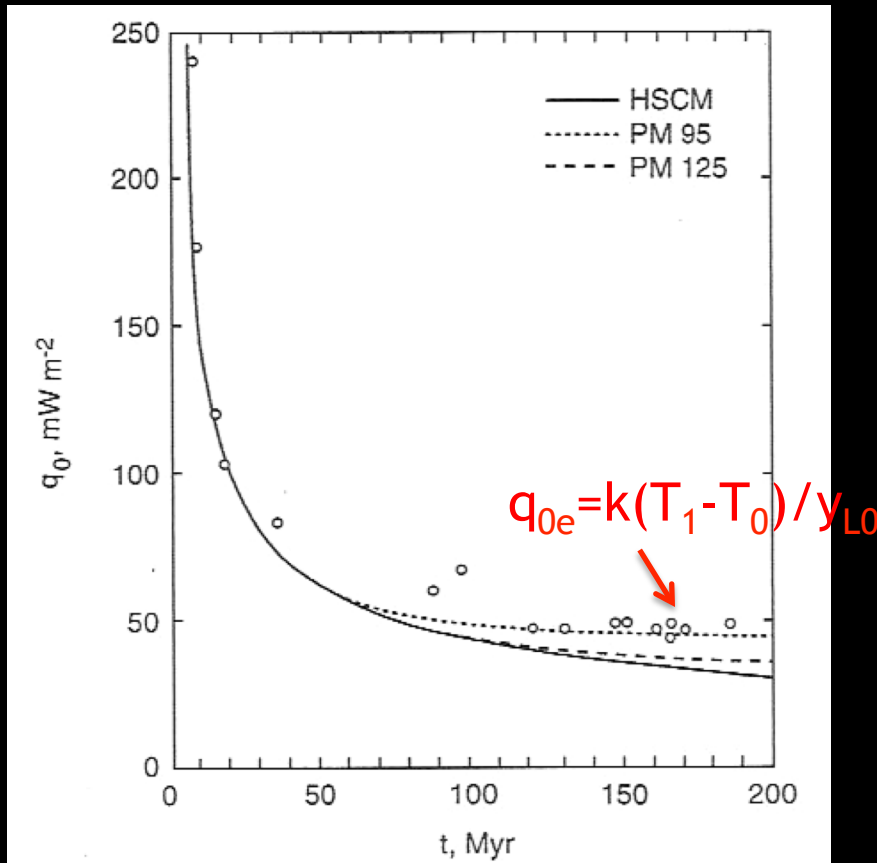
$$(T - T_1) / (T_0 - T_1) =$$

$$\operatorname{erfc}(y / 2\sqrt{\kappa t}) \quad \text{para } t \ll y_{L0}^2 / \kappa$$

Modelo de placa

Usando a lei de Fourier

$$q_0 = k(T_1 - T_0)/y_{L0} \left[1 + 2 \sum_{n=1}^{\infty} (1/n) \exp(-\kappa n^2 \pi^2 t / y_{L0}^2) \right]$$



- O acordo é bom para $y_{L0} = 95 \text{ km}$
- Para $t < 50 \text{ My}$ a espessura da camada limite é menor que a da placa.
- Para ' t ' $> 50 \text{ My}$, a $T = T_1$ na base da placa limita o crescimento da camada limite.